

**Exercice 1**

**1.1**  $\rho = Q/V = \frac{Q}{4/3 \pi R^3}$

**1.2** Tout plan passant par  $O$  est plan de symétrie de la distribution de charge. Or  $\vec{E}$  est un vecteur polaire contenu dans les plans de symétrie. En  $O$ , il est contenu dans tous les plans de symétrie  $\rightarrow \vec{E} = \vec{0}$

**1.3**  $\oiint_S \vec{E} \cdot d\vec{S} = \frac{Q_{\text{int}}}{\epsilon_0}$

**1.4**  $\text{div} \vec{E} = \rho/\epsilon_0$

**1.5** En  $M$ , tel que  $r_M < R$  :  $\text{div} \vec{E}_{\text{INT}} = \rho/\epsilon_0 \rightarrow \frac{1}{r^2} \frac{\partial}{\partial r} (r^2 E_{\text{INT}}(r)) = \rho/\epsilon_0$

les autres termes de  $\text{div} \vec{E}$  ne sont pas à prendre en compte puisque  $\vec{E}$  est radial

$\rightarrow r^2 E_{\text{INT}}(r) = \frac{\rho r^3}{3 \epsilon_0} + K_1 \quad \text{or } \vec{E}_{\text{INT}}(0) = \vec{0} \quad \text{donc } K_1 = 0$

d'où finalement :  $E_{\text{INT}}(r) = \frac{\rho r}{3 \epsilon_0}$  (résultat classique vu en cours)

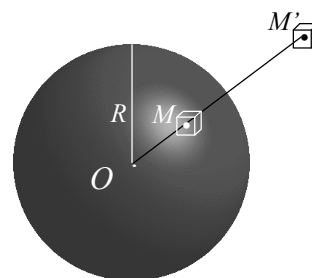
**1.6** En  $M'$ , tel que  $r_{M'} < R$  :  $\text{div} \vec{E}_{\text{EXT}} = 0$  car  $\rho = 0$  (il n'y a pas de charge !)

$\rightarrow \frac{1}{r^2} \frac{\partial}{\partial r} (r^2 E_{\text{EXT}}(r)) = 0 \rightarrow E_{\text{EXT}}(r) = \frac{K_2}{r^2}$

on détermine  $K_2$  en considérant la continuité du champ électrique en  $r = R$  :

$E_{\text{EXT}}(r) = \frac{\rho R^3}{3 \epsilon_0 r^2} = \frac{Q}{4 \pi \epsilon_0 r^2}$

On retrouve bien un résultat classique vu en cours et TD : le champ  $\vec{E}_{\text{EXT}}$  créé par cette sphère chargée est le même que celui dû à une charge  $Q$  ponctuelle placée en  $O$ .



**1.7** On pouvait partir de la relation  $\vec{E}_{\text{EXT}} = -\text{grad} V_{\text{EXT}}$

ou considérer le résultat classique  $V_{\text{EXT}}(r) = \frac{Q}{4 \pi \epsilon_0 r} + K$  comme pour une charge ponctuelle localisée en  $O$ .

En prenant  $V_{\text{EXT}}(\infty) = 0$ , on obtient  $K = 0$ .

**1.8**  $E_p = q \cdot V_{\text{EXT}}(R_1) = \frac{q Q}{4 \pi \epsilon_0 R_1}$

**1.9**  $C = \int_{P_1}^{P_2} \vec{E}_{\text{EXT}} \cdot d\vec{\ell} = V_{\text{EXT}}(P_1) - V_{\text{EXT}}(P_2) = \frac{Q}{4 \pi \epsilon_0} \left[ \frac{1}{R_1} - \frac{1}{R_2} \right]$

**1.10**  $W_{\text{ELEC}} = \int_{P_1}^{P_2} q \vec{E}_{\text{EXT}} \cdot d\vec{\ell} = q \int_{P_1}^{P_2} \vec{E}_{\text{EXT}} \cdot d\vec{\ell} = q [V_{\text{EXT}}(P_1) - V_{\text{EXT}}(P_2)] = -\Delta E_p$

**1.11** Trajet  $P_1 \rightarrow A \rightarrow B \rightarrow P_2$  :  $W_1 = \int_{P_1}^A q \vec{E}_{\text{EXT}} \cdot d\vec{\ell} + \int_A^B q \vec{E}_{\text{EXT}} \cdot d\vec{\ell} + \int_B^{P_2} q \vec{E}_{\text{EXT}} \cdot d\vec{\ell}$

$\underbrace{\hspace{10em}}_{\vec{E}_{\text{EXT}} // d\vec{\ell}} \quad \underbrace{\hspace{10em}}_{\vec{E}_{\text{EXT}} \perp d\vec{\ell}} \quad \underbrace{\hspace{10em}}_{\vec{E}_{\text{EXT}} \perp d\vec{\ell}}$

$W_1 = q \int_{P_1}^A q \vec{E}_{\text{EXT}} \cdot d\vec{\ell} = q [V_{\text{EXT}}(P_1) - V_{\text{EXT}}(A)] = q [V_{\text{EXT}}(P_1) - V_{\text{EXT}}(P_2)]$

Trajet  $P_1 \rightarrow C \rightarrow D \rightarrow P_2$  :  $W_2 = \int_{P_1}^C q \vec{E}_{\text{EXT}} \cdot d\vec{\ell} + \int_C^D q \vec{E}_{\text{EXT}} \cdot d\vec{\ell} + \int_D^{P_2} q \vec{E}_{\text{EXT}} \cdot d\vec{\ell}$

$\underbrace{\hspace{10em}}_{\vec{E}_{\text{EXT}} \perp d\vec{\ell}} \quad \underbrace{\hspace{10em}}_{\vec{E}_{\text{EXT}} // d\vec{\ell}} \quad \underbrace{\hspace{10em}}_{\vec{E}_{\text{EXT}} \perp d\vec{\ell}}$

$W_2 = q \int_C^D \vec{E}_{\text{EXT}} \cdot d\vec{\ell} = q [V_{\text{EXT}}(C) - V_{\text{EXT}}(D)] = q [V_{\text{EXT}}(P_1) - V_{\text{EXT}}(P_2)] = W_1$

Une démonstration similaire est présentée dans le poly de cours pages 28-29 / chap. 1

## Exercice 2

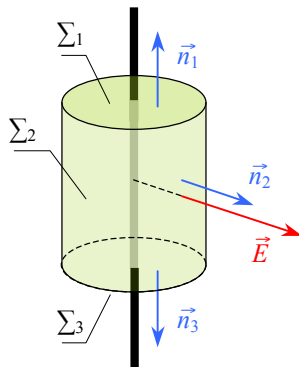
- /2 2.1** (1) La distribution de charges est invariante par translation selon  $Oz$   
 (2) La distribution de charges est invariante par rotation autour de  $Oz$   
 (3) Tout plan contenant le fil est plan de symétrie  
 (4) Tout plan perpendiculaire au fil est plan de symétrie

**/1 2.2**  $\vec{E}$  est un vecteur polaire contenu dans les plans de symétrie.  
 En  $O$ , il est contenu dans tous les plans de symétrie  $\rightarrow \vec{E} = \vec{0}$

- /2 2.3** D'après les réponses de la question 2.1 : (1)  $\rightarrow \vec{E}(\vec{r})$  ne dépend pas de  $z$   
 (2)  $\rightarrow \vec{E}(\vec{r})$  ne dépend pas de  $\varphi$   
 (3)  $\rightarrow \vec{E}(\vec{r})$  est contenu dans le plan  $(\vec{e}_\rho; \vec{e}_z)$   
 (4)  $\rightarrow \vec{E}(\vec{r})$  est contenu dans le plan  $(\vec{e}_\rho; \vec{e}_\varphi)$

$$\rightarrow \vec{E}(\rho, \varphi, z) = E(\rho) \vec{e}_\rho$$

**/4 2.4** On applique le théorème de Gauss en choisissant une surface de Gauss adaptée au système (cf. cours) :



**Vous devez absolument préciser en détail quelle surface de Gauss vous utilisez (au besoin au moyen d'un dessin)**

La surface de Gauss considérée est un cylindre de longueur  $L$  et de rayon  $\rho$ .  
 Le théorème de Gauss stipule que :

$$\oiint_{\Sigma} \vec{E} \cdot d\vec{S} = \frac{Q_{\text{int}}}{\epsilon_0} \quad \text{où } \Sigma = \Sigma_1 + \Sigma_2 + \Sigma_3 \text{ (voir dessin)}$$

$$\oiint_{\Sigma} \vec{E} \cdot d\vec{S} = \underbrace{\iint_{\Sigma_1} \vec{E} \cdot d\vec{S}}_{\vec{E} \perp \vec{n}_1} + \underbrace{\iint_{\Sigma_2} \vec{E} \cdot d\vec{S}}_{\vec{E} \parallel \vec{n}_2} + \underbrace{\iint_{\Sigma_3} \vec{E} \cdot d\vec{S}}_{\vec{E} \perp \vec{n}_3} = \iint_{\Sigma_2} \vec{E} \cdot d\vec{S} = E(\rho) 2\pi\rho L$$

$$\frac{Q_{\text{int}}}{\epsilon_0} = \frac{\lambda L}{\epsilon_0} \quad \text{d'où } E(\rho) = \frac{\lambda}{2\pi\epsilon_0 \rho} \quad \vec{E}(\rho) = \frac{\lambda}{2\pi\epsilon_0 \rho} \vec{e}_\rho$$

**/2 2.5**  $\vec{E}(\rho) = -\overrightarrow{\text{grad}} V = -\frac{\partial V}{\partial \rho} \vec{e}_\rho \quad \rightarrow \quad V = -\int \frac{\lambda}{2\pi\epsilon_0 \rho} d\rho = -\frac{\lambda}{2\pi\epsilon_0} \ln \rho + K$

**/2 2.6** Les surfaces équipotentielles sont des cylindres d'axe confondu avec le fil

**/3 2.7** Pour le fil (-) :  $V_-(M) = +\frac{\lambda}{2\pi\epsilon_0} \ln r_-$  pour le fil (+) :  $V_+(M) = -\frac{\lambda}{2\pi\epsilon_0} \ln r_+$

En vertu du théorème de superposition :  $V_{\text{TOT}}(M) = V_-(M) + V_+(M) = \frac{\lambda}{2\pi\epsilon_0} \ln \left( \frac{r_-}{r_+} \right)$

**/2 2.8** Bien que le potentiel soit défini à une constante près, il fallait considérer le cas le plus simple à savoir le cas pour lequel  $\ln(r_-/r_+) = 0$ , c'est à dire le plan contenant les points équidistants des fils : le plan d'équation  $x = 0$ .

**/2 2.9** Lignes de champ et équipotentielles : on retrouve une situation analogue à celle du dipôle :

